



Consommation adaptative par négociation continue

Ellie Beauprez, Anne-Cécile Caron,
Maxime Morge, Jean-Christophe
Routier

Équipe SMAC, CRISAL, Univ. Lille

5 Juillet 2023

Consommation adaptative par négociation continue

- **Objectif.**

Optimisation du réordonnancement de tâches pour des jobs multiples qui doivent être exécutés le plus tôt possible

- **Application pratique.**

Traitement de données massives avec le patron de conception MapReduce

- **Proposition.**

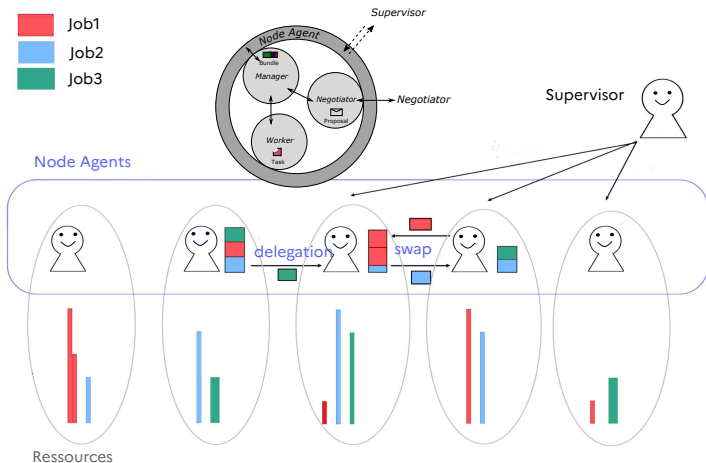
Une architecture multi-agent modulaire qui permet la concurrence de la négociation et de la consommation des tâches

- **Contributions.**

- Formalisation de la consommation de tâche et des opérations de réallocation
- **3 agents composants:**
 - ▶ un *worker* qui exécute les tâches
 - ▶ un *negotiator* qui négocie les réallocations
 - ▶ un *manager* qui coordonne localement ces opérations
- Expériences approfondies

Équilibrage de charge de jobs concurrents

Chaque agent-nœud représente un nœud de calcul qui gère son propre lot de tâches



Plan

- 1 Travaux connexes
- 2 Problème
- 3 Opérations
- 4 Architecture
- 5 Expérimentations
- 6 Conclusion

Répondre aux exigences de l'application pratique

- Limites des solutions centralisées [Jiang, 2016] :
 - ① impossibilité de traiter des problèmes à grande échelle
 - ② faible réactivité aux changements
- Beaucoup de travaux sont basés sur des enchères (e.g. Koenig et al. [2006], Choi et al. [2009]) mais :
 - nous considérons des **agents coopératifs** visant à minimiser le *flowtime* moyen, i.e. la durée moyenne entre la date de libération des jobs et leur date de réalisation
 - nous préférons un **protocole bilatéral** qui permet plusieurs négociations concurrentes
- Contrairement à [Chen et al., 2016], nos agents peuvent avoir une connaissance imparfaite de l'environnement
- Contrairement à [Creech et al., 2021], notre solution ne requiert aucun modèle préalable sur les données ou l'environnement, ni phase d'exploration

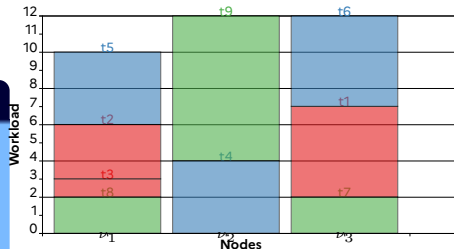
Formalisation

Définition : STAP

Un problème d'allocation de tâches situées (STAP - *Situated Task Allocation Problem*) est un quadruplet

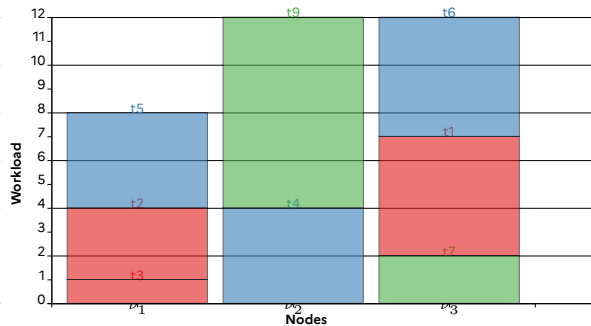
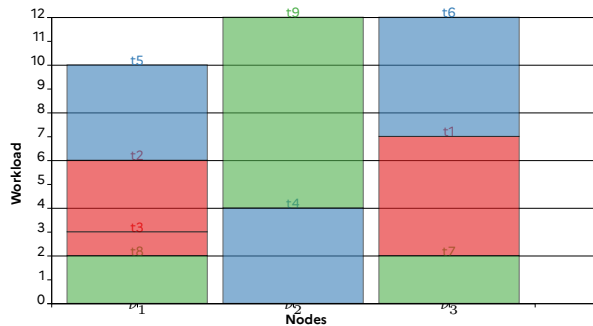
$\text{STAP} = \langle \mathcal{D}, \mathcal{T}, \mathcal{J}, c \rangle$ où :

- $\mathcal{D} = \langle \mathcal{N}, \mathcal{E}, \mathcal{R} \rangle$ est un système distribué avec m nœuds ;
- $\mathcal{T} = \{\tau_1, \dots, \tau_n\}$ est un ensemble de n tâches ;
- $\mathcal{J} = \{J_1, \dots, J_\ell\}$ est un partitionnement des tâches en ℓ jobs ;
- $c : \mathcal{T} \times \mathcal{N} \mapsto \mathbb{R}_+^*$ est la fonction de coût.



- **Flowtime moyen** = durée moyenne de réalisation des jobs pour une allocation
- $C_{J_{rouge}}(\overline{A}_t) = 7$
- $C_{J_{bleu}}(\overline{A}_t) = 12$
- $C_{J_{vert}}(\overline{A}_t) = 12$
- Soit $C_{mean}(\overline{A}_t) \simeq 10,33$

Opérations : consommation



Le nœud ν_1 consomme la tâche t_8

Opérations : consommation

Définition : consommation

La **consommation** à l'instant t par le nœud ν_i conduit à l'allocation $\vec{A}_t' = \lambda(\nu_i, \vec{B}_{i,t})$ pour le problème $\text{STAP}' = \langle \mathcal{D}, \mathcal{T}', \mathcal{J}', c \rangle$ où $\mathcal{T}' = \mathcal{T} \setminus \{\min_{\prec_i} B_{i,t}\}$ et :

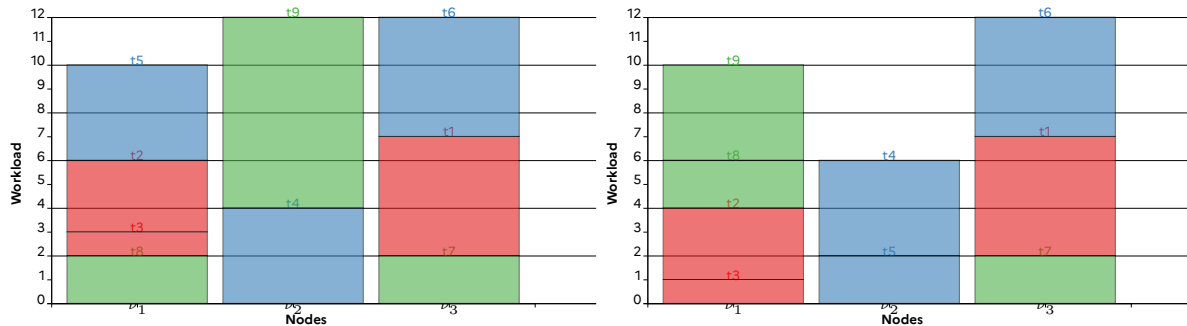
$$\mathcal{J}' = \begin{cases} \mathcal{J} \setminus \{\text{job}(\min_{\prec_i} B_{i,t})\} & \text{si } \text{job}(\min_{\prec_i} B_{i,t}) = \{\min_{\prec_i} B_{i,t}\} \\ \mathcal{J} & \text{sinon} \end{cases}$$

Dans ce dernier cas :

$$\forall J_j \in \mathcal{J} \exists J_j' \in \mathcal{J}' \text{ s.t. } J_j' = \begin{cases} J_j \setminus \{\min_{\prec_i} B_{i,t}\} & \text{si } \text{job}(\min_{\prec_i} B_{i,t}) = J_j \\ J_j & \text{sinon} \end{cases}$$

$$\text{et } \vec{A}_t' = (\vec{B}_{1,t}', \dots, \vec{B}_{m,t}') \text{ avec } \vec{B}_{j,t}' = \begin{cases} \overline{B_{i,t} \ominus \min_{\prec_i} B_{i,t}} & \text{si } j = i \\ \vec{B}_{j,t} & \text{sinon} \end{cases}$$

Opérations : réallocation bilatérale



Les nœuds ν_1 et ν_2 échangent les tâches t_5 et t_9

Opérations : réallocation bilatérale

Définition : réallocation bilatérale

La **réallocation bilatérale** de la liste non vide de tâches T_1 affectées au proposant ν_i en échange de la liste de tâches T_2 affectées au répondant ν_j in \overrightarrow{A}_t conduit à l'allocation $\gamma(T_1, T_2, \nu_i, \nu_j, \overrightarrow{A}_t)$ avec m lots de tâches tels que :

$$\gamma(T_1, T_2, \nu_i, \nu_j, \overrightarrow{B}_{k,t}) = \begin{cases} \overrightarrow{B}_{i,t} \ominus T_1 \oplus T_2 & \text{si } k = i, \\ \overrightarrow{B}_{j,t} \ominus T_2 \oplus T_1 & \text{si } k = j, \\ \overrightarrow{B}_{k,t} & \text{sinon} \end{cases}$$

Si T_2 est vide, la réallocation est une délégation. Sinon, c'est un échange.

Stratégie de négociation en deux phases

détaillée dans Beauprez, Caron, et al. [2022a]

Les agents disposent de :

- Un modèle des pairs construit à partir de sa base de croyances
- Une stratégie d'offre
- Une règle d'acceptabilité
- Une stratégie de contre-offre

Phase 1

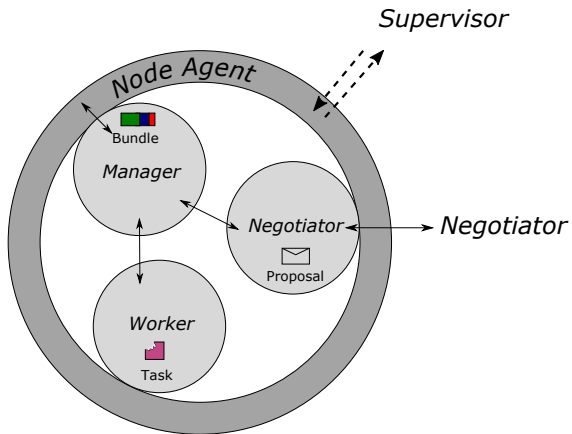
Stratégie d'offre conservatrice où le donneur propose des délégations socialement rationnelles

Phase 2

Stratégie d'offre libérale où le donneur propose des délégations même si elles ne sont pas rationnelles, et où le receveur cherche une contre-offre pertinente

Une architecture modulaire

Négociation et consommation concurrentes

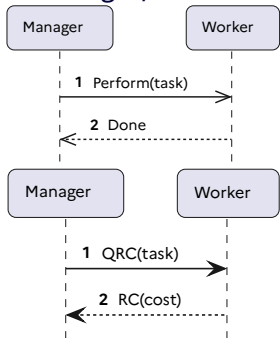


- Le **worker** consomme les tâches
- Le **negotiator** met à jour une base de croyances pour négocier les tâches avec ses pairs
- Le **manager** gère le lot de tâches du nœud, ordonnance les tâches à donner au **worker**, et retire ou ajoute des tâches selon les négociations effectuées

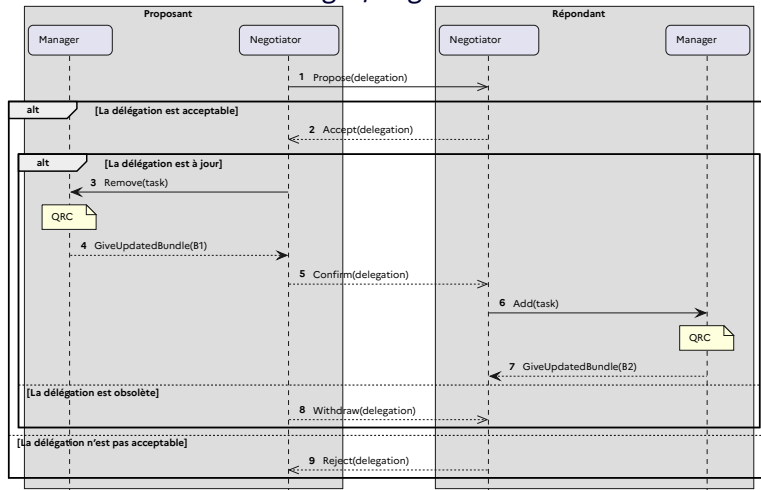
Une architecture modulaire

Interactions entre le *manager*, le *worker* et le *negotiator*

Manager/Worker

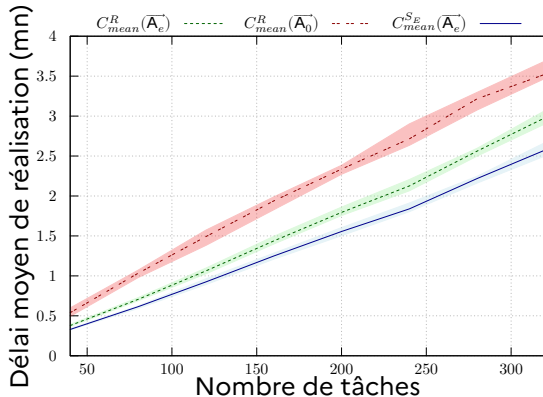


Manager/Negotiator



Expérimentations

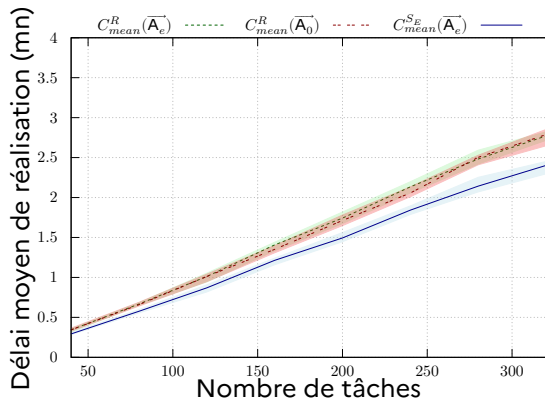
La stratégie de réallocation améliore le *flowtime*



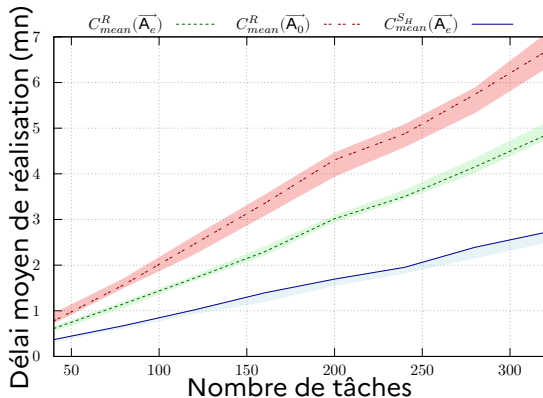
Expérimentations

La stratégie de réallocation ne pénalise pas la consommation et est robuste face aux aléas d'exécution

À partir d'une allocation stable



Avec des aléas d'exécution



Conclusion

- **Approche.**

Système multi-agent pour la réallocation de tâches sur des nœuds réalisée simultanément à la consommation afin de réduire la durée moyenne de réalisation de jobs concurrents

- **Contributions.**

- Formalisation de la consommation de tâche et des opérations de réallocation
- Architecture multi-agent modulaire qui permet la concurrence de la négociation et de la consommation des tâches avec **3 agents composants** :
 - ▶ un *worker* qui exécute les tâches
 - ▶ un *negotiator* qui négocie les réallocations
 - ▶ un *manager* qui coordonne localement ces opérations

- **Travaux futurs.**

Un processus d'approvisionnement qui permet d'ajouter ou de retirer des nœuds de calcul au cours de l'exécution

Bibliographie I

- Baert, Q., Caron, A.-C., Morge, M., Routier, J.-C., & Stathis, K. (2021). An adaptive multi-agent system for task reallocation in a MapReduce job. [*Journal of Parallel and Distributed Computing*, 153, 75–88.](#)
- Beauprez, E., Caron, A.-C., Morge, M., & Routier, J.-C. (2022a). Échange de tâches pour la réduction de la durée moyenne de réalisation (V. CAMPS, Ed.). In V. CAMPS (Ed.), [*Trentièmes journées francophones sur les systèmes multi-agents \(JFSMA\)*](#), Saint-Étienne, France, Cépaduès.
- Beauprez, E., Caron, A.-C., Morge, M., & Routier, J.-C. (2022b). Task Bundle Delegation for Reducing the Flowtime. In [*ICAART 2021, Revised Selected Papers*](#) (pp. 22–45). Springer International Publishing.
- Beauprez, E., & Morge, M. (2020). Scala implementation of the Extended Multi-agents Situated Task Allocation.
- Chen, Y., Mao, X., Hou, F., Wang, Q., & Yang, S. (2016). Combining re-allocating and re-scheduling for dynamic multi-robot task allocation. In [*Proc. of SMC*](#).

Bibliographie II

- Choi, H.-L., Brunet, L., & How, J. P. (2009). Consensus-based decentralized auctions for robust task allocation. *IEEE transactions on robotics*, *25*(4), 912–926.
- Creech, N., Pacheco, N. C., & Miles, S. (2021). Resource allocation in dynamic multiagent systems. *CoRR*, [abs/2102.08317](https://arxiv.org/abs/2102.08317).
- Damamme, A., Beynier, A., Chevaleyre, Y., & Maudet, N. (2015). The Power of Swap Deals in Distributed Resource Allocation. In *Proc. of AAMAS*.
- Dean, J., & Ghemawat, S. (2004). MapReduce: Simplified Data Processing on Large Clusters. In *Proc. of OSDI*.
- Jiang, Y. (2016). A survey of task allocation and load balancing in distributed systems. *IEEE Transactions on Parallel and Distributed Systems*, *27*(2), 585–599.
- Koenig, S., Tovey, C., Lagoudakis, M., Markakis, V., Kempe, D., Keskinocak, P., Kleywegt, A., Meyerson, A., & Jain, S. (2006). The power of sequential single-item auctions for agent coordination. In *AAAI*.

- Lerman, K., Jones, C., Galstyan, A., & Matarić, M. J. (2006). Analysis of dynamic task allocation in multi-robot systems. [The International Journal of Robotics Research](#), *25*(3), 225–241.
- Lightbend. (2020). Akka is the implementation of the Actor Model on the JVM.
- Mayya, S., D'antonio, D. S., Saldaña, D., & Kumar, V. (2021). Resilient task allocation in heterogeneous multi-robot systems. [IEEE Robotics and Automation Letters](#), *6*(2), 1327–1334.
- Mills-Tettey, G. A., Stentz, A., & Dias, M. B. (2007). The dynamic hungarian algorithm for the assignment problem with changing costs. [Robotics Institute, Pittsburgh, PA, Tech. Rep. CMU-RI-TR-07-27](#).
- Nam, C., & Shell, D. A. (2015). When to do your own thing: Analysis of cost uncertainties in multi-robot task allocation at run-time. In [Proc. of ICRA](#).
- Turner, J., Meng, Q., Schaefer, G., & Soltoggio, A. (2018). Distributed Strategy Adaptation with a Prediction Function in Multi-Agent Task Allocation. In [Proc. of AAMAS](#).

Zaharia, M., Chowdhury, M., Das, T., Dave, A., Ma, J., McCauly, M., Franklin, M. J., Shenker, S., & Stoica, I. (2012). Resilient Distributed Datasets: A Fault-Tolerant Abstraction for In-Memory Cluster Computing. In [Proc. of the 9th USENIX Symposium on NSDI; San Jose, CA, USA.](#)